

**ПАРАМЕТРИЧЕСКОЕ ВОЗБУЖДЕНИЕ ИМПУЛЬСОВ  
В РАСПРЕДЕЛЕННЫХ МЕХАНИЧЕСКИХ СИСТЕМАХ  
С НЕСТАЦИОНАРНЫМИ ГРАНИЦАМИ**

*A. I. Весницкий, С. В. Крысов, С. Р. Шохин*

(Горький)

В распределенной системе, параметры которой изменяются во времени, собственные колебания оказываются связанными друг с другом, вследствие чего в ней возможно параметрическое возбуждение одновременно нескольких синхронизированных между собой гармонических колебаний. Если спектр собственных частот соответствующей стационарной системы близок к эквидистантному, то периодическое изменение во времени ее параметров может приводить к возбуждению колебаний импульсной формы [1]. Указанное явление может иметь место как в системах с изменяющимися во времени размерами, так и в системах, свойства границ которых нестационарны. Исследованию неустойчивости этих систем и посвящена данная работа.

1. Вопрос о влиянии движения границ на характер волновых явлений в одномерных механических системах рассматривался еще в работах [2, 3]. В [3] впервые получено точное решение задачи о колебаниях в системе, размер которой равномерно изменяется во времени. Интерес к подробному изучению этих явлений стал проявляться сравнительно недавно в связи с увеличением скоростей работы механизмов \*, использующих указанные системы в качестве основных элементов.

К настоящему времени появилось много работ (см. например, [4, 5]), посвященных нерезонансным явлениям в системах с движущимися границами. Что же касается резонансных явлений, выражющихся в параметрическом возбуждении колебаний, то они до сих пор остаются почти совсем не изученными. Однако известно [1], что возбуждаемые колебания будут иметь форму импульсов.

Рассмотрим механическую систему, представляющую собой натянутую нить, движущуюся с постоянной скоростью  $v$  через два кольца, колеблющиеся по заданному гармоническому закону. При этом будем полагать, что диаметры колец равны диаметру нити.

Функция поперечного смещения пити  $u$  является решением уравнения

$$(1.1) \quad \partial^2 u / \partial t^2 - 2v \partial^2 u / \partial t \partial x - (c^2 - v^2) \partial^2 u / \partial x^2 = 0,$$

удовлетворяющим однородным граничным условиям

$$u|_{x=a(t)} = u|_{x=b(t)} = 0,$$

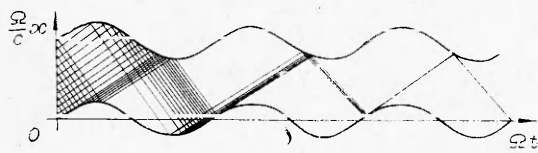
где  $c$  — скорость распространения волн в неподвижной нити,  $a(t) = -\lambda \sin \Omega t$ ;  $b(t) = l_0 + \lambda \sin \Omega t$ ;  $\lambda$ ,  $\Omega$  и  $l_0$  — постоянные величины.

Заметим, что в такой постановке задача будет корректна лишь при условии, когда бегущие по нити волны успевают отражаться от границ, т. е.\*\*

$$(1.2) \quad |\lambda \Omega| < c - |v|.$$

\* Имеются в виду ткацкие и перемоточные станки, шахтные подъемники и т. п.

\*\* Вопрос о корректности постановки задач динамики нити переменной длины достаточно подробно обсуждается в [1].



Фиг. 1

раняющихся по характеристикам уравнения (1.1)

$$x = (c - v)t + C_1, \quad x = -(c + v)t + C_2,$$

где  $C_1$  и  $C_2$  — соответствующие постоянные.

Отдельные импульсы начальных возмущений, многократно отражаясь от границ, с течением времени формируются в один (фиг. 1). Последний взаимодействует с границей лишь в те моменты времени, когда она движется ему навстречу. Поэтому его энергия при отражении возрастает пропорционально сжатию профиля волны в соответствии с двойным эффектом Доппеляра. В пределе при  $t \rightarrow \infty$  длительность возмущения стремится к нулю, а его энергия к бесконечности (последнее — следствие того, что здесь не учитываются нелинейные явления, например, влияние возмущений на закон движения границ и т. п.).

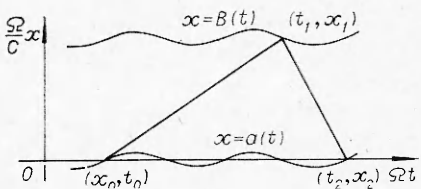
На фиг. 1 видно, что траекторией импульса на пространственно-временной плоскости ( $\Omega x/c, \Omega t$ ) является некоторая ломаная линия, составленная из отрезков характеристик, заключенных между траекториями границ. Естественно предположить, что параметрический резонанс возможен по крайней мере в тех случаях, когда функция  $f(t)$ , описывающая ломаную, около которой сгущаются характеристики, периодическая, причем ее период  $T$ , очевидно, должен быть кратен периоду колебания границ.

В связи с этим предположением задача подразделяется на две: а) отыскание условий, при которых существует периодическая ломаная; б) отыскание условий параметрического резонанса.

2. Найдем условия, налагаемые на параметры системы, при которых функция  $f(t)$  периодическая. Излагаемый подход применим для рассмотрения ломанных с любым конечным  $T$ , однако для наглядности ограничимся рассмотрением случая, когда период  $f(t)$  равен времени между двумя последовательными отражениями импульса от одной и той же границы.

В этом случае (фиг. 2), учитывая, что  $x_2 = x_0$ ;  $t_2 = t_0 + 2\pi N \Omega^{-1}$ , получаем систему уравнений для однозначного определения координат  $x_{0,1}$  и  $t_{0,1}$

$$\begin{cases} x_0 = \lambda \sin \Omega t_0, \\ x_0 = (c - v) t_0 + C_1, \\ x_0 = -(c + v)(t_0 + 2\pi N \Omega^{-1}) + C_2, \\ x_1 = l_0 + \lambda \sin \Omega t_1, \\ x_1 = (c - v) t_1 + C_1, \\ x_1 = -(c + v) t_1 + C_2. \end{cases}$$



Фиг. 2

Следуя методу, изложенному в работе [6], произвольное возмущение нити в начальный момент времени можно условно разбить на отдельные участки, каждый из которых будет содержать в себе два импульса распространяющихся по характеристикам уравнения (1.1)

Разрешая ее относительно  $t_0 + t_1$ , находим

$$(2.1) \quad \cos[(\Omega/2)(t_0 + t_1)] = [\pi N c \Omega^{-1} (1 - v^2/c^2) - l_0]/2\lambda \sin[(\pi N/2)(1 + v/c)].$$

Так как  $t_0$  и  $t_1$  — действительные величины, то уравнение (2.1) имеет решение лишь при условии

$$(2.2) \quad |[\omega \Omega^{-1} N (1 - v^2/c^2) - 1]/2\lambda l_0^{-1} \sin[(\pi N/2)(1 + v/c)]| \leq 1,$$

где  $\omega = \pi c l_0^{-1}$  — низшая собственная частота соответствующей стационарной системы.

Неравенство (2.2) определяет области пространства параметров системы, при которых существует периодическая ломаная. Их границами являются поверхности

$$\begin{aligned} \lambda l_0^{-1} &= [1 - N \omega \Omega^{-1} (1 - v^2/c^2)]/2 |\sin[(\pi N/2)(1 + v/c)]|, \\ \lambda l_0^{-1} &= [N \omega \Omega^{-1} (1 - v^2/c^2) - 1]/2 |\sin[(\pi N/2)(1 + v/c)]|. \end{aligned}$$

Кроме того, необходимо учесть условие (1.2). Таким образом, получаем еще одну ограничивающую поверхность

$$\pi \lambda / l_0 = \omega \Omega^{-1} (1 - |v|/c).$$

3. Для параметрического резонанса необходимо, чтобы характеристики сгущались с течением времени. Отношения расстояний между двумя достаточно близкими характеристиками до ( $\rho_1$ ) и после ( $\rho_2$ ) отражения от верхней и нижней границы соответственно равны

$$\sqrt{\frac{1 + (1 + v/c)^2}{1 + (1 - v/c)^2}} \cdot \frac{1 - v/c - b/c}{1 + v/c + b/c},$$

$$\sqrt{\frac{1 + (1 - v/c)^2}{1 + (1 + v/c)^2}} \cdot \frac{1 + v/c - a/c}{1 - v/c - a/c}.$$

Поскольку в рассматриваемом случае за период  $f(t)$  происходит два отражения, то условие сгущения характеристик, а следовательно, и параметрического резонанса записывается в виде

$$\{[1 - v/c - b(t_1)/c]/[1 + v/c + b(t_1)/c]\} \cdot \{[1 + v/c + a(t_2)/c]/[1 - v/c - a(t_2)/c]\} > 1$$

или

$$(3.1) \quad a(t_2) - b(t_1) > 0.$$

Подставляя в (3.1) законы движения границ (2.2), имеем

$$\sin[(\Omega/2)(t_1 + t_2)] \cdot \sin[(\pi N/2)(1 + v/c)] > 0,$$

т. е.

при  $\sin[(\pi N/2)(1 + v/c)] > 0 \quad 2k\pi < (\Omega/2)(t_1 + t_2) < (2k + 1)\pi$ ,  
 при  $\sin[(\pi N/2)(1 + v/c)] < 0 \quad 2(k - 1)\pi < (\Omega/2)(t_1 + t_2) < 2k\pi$   
 $(k = 0, 1, 2, \dots)$ , или, если  $\sin[(\pi N/2)(1 + v/c)] \neq 0$ , то  $\cos[(\Omega/2)(t_1 + t_2)]$  может принимать любые значения, за исключением экстремальных

$$(3.2) \quad -1 < \cos[(\Omega/2)(t_1 + t_2)] < 1.$$

Сравнивая (3.2) с (2.1), видим, что область существования периодических функций  $f(t)$ , за исключением границ и точек, где  $\sin[(\pi N/2)(1+v/c)] = 0$ , совпадает с областью параметрического резонанса. Следовательно, последняя определяется неравенствами

$$(3.3) \quad \left| [\omega\Omega^{-1}N(1-v^2/c^2)-1]/2\lambda l_0^{-1}\sin[(\pi N/2)(1+v/c)] \right| < 1;$$

$$\pi\lambda l_0^{-1} < \omega\Omega^{-1}(1-|v|/c).$$

4. Условия (3.3) имеют сравнительно простой вид. В них входят четыре независимых параметра, причем один из них  $N$  может принимать лишь целочисленные значения, каждому из которых в пространстве параметров  $(\omega/\Omega, v/c, \lambda/l_0)$  соответствует своя зона. Последние не имеют общих точек, и потому значение  $N$  удобно понимать как номер зоны.

Предлагаемый метод позволяет сравнительно просто учесть линейные потери при отражении от границ. Для этого левую часть (3.1) следует домножить на коэффициенты  $\Gamma_a$  и  $\Gamma_b$ , характеризующие диссипативные потери энергии при отражении волн. Используя полученное таким образом неравенство, можно найти условия неустойчивости, которые при  $v = 0$  принимают вид

$$\left| \frac{\omega\Omega^{-1}N-1}{2\lambda l_0^{-1}} \right| < \left\{ 1 - \left[ \frac{\omega\Omega^{-1}}{2\lambda l_0^{-1}} \cdot \frac{1+\Gamma_a\Gamma_b}{1-\Gamma_a\Gamma_b} \left( \sqrt{1 - \left( \frac{1-\Gamma_a\Gamma_b}{1+\Gamma_a\Gamma_b} \right)^2} - 1 \right) \right]^2 \right\}^{1/2};$$

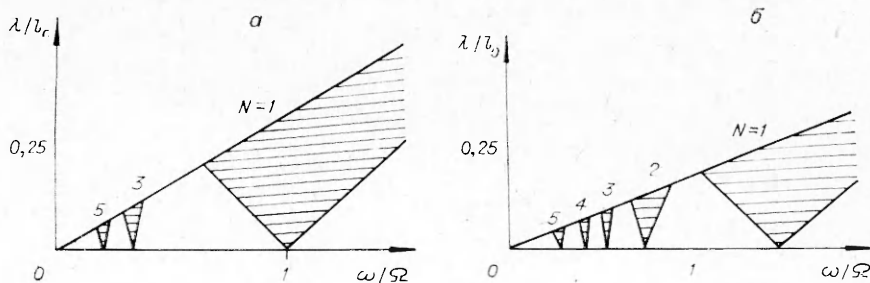
$$(\omega/\pi\Omega)[(1-\Gamma_a\Gamma_b)/(1+\Gamma_a\Gamma_b)][1 - \sqrt{1 - (1-\Gamma_a\Gamma_b)^2/(1+\Gamma_a\Gamma_b)^2}] \leqslant$$

$$\leqslant \lambda l_0^{-1} < (\omega/\pi\Omega).$$

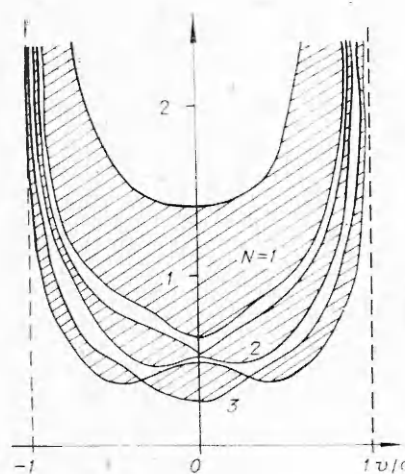
Отсюда следует, что порог возбуждения с ростом номера зоны (т. е. с ростом  $\Omega$ ) уменьшается. Поэтому для рассматриваемого класса систем принципиально необходим учет не только первого, но и высших параметрических резонансов. Указанное обстоятельство является следствием многомодовости системы, что подтверждается экспериментальными исследованиями систем с изменяющимися во времени распределенными параметрами [7]. Инкремент неустойчивости с ростом номера зоны увеличивается, и при  $v = 0$  его максимальное значение (в центрах зон) равно

$$(\omega/2\pi) \ln \{ \Gamma_a\Gamma_b [(1+\lambda l_0^{-1}N\pi)/(1-\lambda l_0^{-1}N\pi)]^2 \}.$$

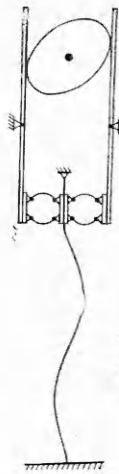
Интересно отметить, что в случае неподвижной нити ( $v = 0$ ) существуют только нечетные зоны (фиг. 3, а). Если же нить движется с лю-



Фиг. 3



Фиг. 4



Фиг. 5

бой, даже очень малой скоростью, то количество зон удваивается и они смещаются вправо по оси  $\omega/\Omega$  (фиг. 3, б). Ширина зон зависит от скорости движения нити (фиг. 4). При условии  $\sin[(\pi N/2)(1 + v/c)] = 0$  зоны вырождаются в отрезки прямых, число которых соответствует номеру зоны  $N$ .

Количество возбуждаемых в системе импульсов может быть различно. Это зависит от начальных условий. Путем графических построений на пространственно-временной плоскости (см. фиг. 1) можно показать, что наибольшее число возбуждаемых импульсов равно номеру соответствующей зоны.

Использованный в данной работе подход к исследованию условий параметрического резонанса применим для более общего случая движения границ. Например, для несинхронно колеблющихся границ

$$a(t) = \lambda \sin \Omega t; b(t) = l_0 + \lambda \sin(\Omega t + \varphi),$$

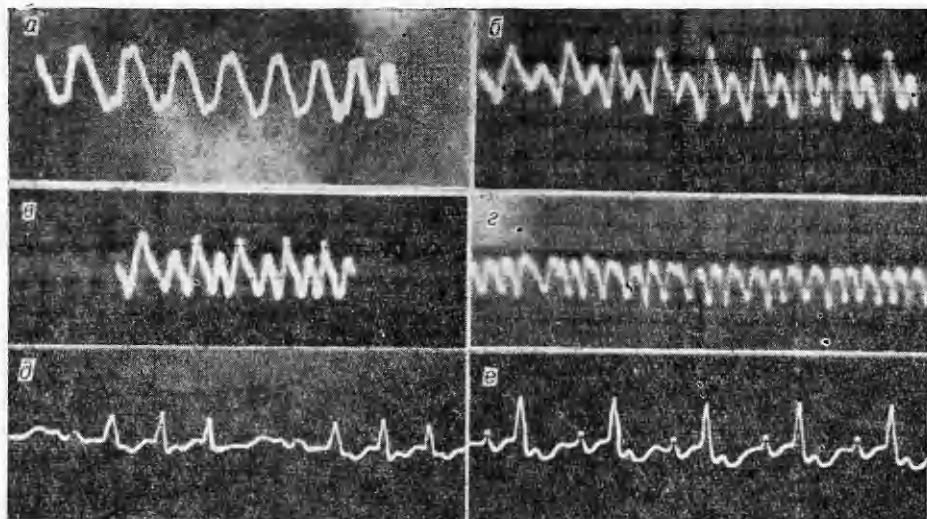
проводя аналогичные рассуждения, вместо (3.3) получим

$$\begin{aligned} & |[\omega \Omega^{-1} N (1 - v^2/c^2) - 1]/2\lambda l_0^{-1} \sin[(N\pi/2)(1 + v/c) + \varphi]| < 1; \\ & \pi |\lambda| l_0^{-1} < \omega \Omega^{-1} (1 - |v|/c). \end{aligned}$$

Сдвиг фаз, очевидно, приводит к смещению зон в пространстве параметров вдоль оси  $v/c$ .

5. Волновые процессы в рассматриваемой системе по своему характеру близки к процессам в одномерной механической системе с границами, свойства которых изменяются во времени. Например, наличие упругого закрепления эквивалентно удлинению системы для гармонических волн. Поэтому изменение во времени его жесткости в какой-то мере соответствует изменению этого удлинения, и, следовательно, взаимодействие волны с таким закреплением может приводить к ее сжатию (или растяжению), как и в случае эффекта Допплера для движущейся границы.

Параметрическое возбуждение импульсных колебаний наблюдалось экспериментально в распределенной механической системе с нестационарной границей (фиг. 5), представляющей собой натянутую плоскую



Фиг. 6

резиновую ленту длиной 110 см и шириной 2,5 см, один конец которой жестко закреплен, а другой зажат между двумя стальными пружинами, работающими на изгиб. Коэффициент жесткости этих пружин менялся во времени по периодическому закону посредством мотора с симметрично насыженным на него кулаком эллиптической формы. Жесткость закрепления с изменялась возле среднего значения  $c_0$  по закону, близкому к гармоническому с относительной глубиной модуляции  $m \geq 0,2$ .

При  $c = c_0$  и натяжении  $h = 5$  кг спектр первых 4–5 собственных частот поперечных колебаний ленты практически был эквидистантным и на низшей собственной частоте  $f_0 = 13$  Гц, добротность  $Q \geq 40$ .

Индикация колебаний осуществлялась с помощью установленного вблизи ленты микрофона, с клемм которого напряжение подавалось на осциллограф. Таким образом, наблюдалась производная от функции поперечного смещения в фиксированном сечении исследуемой распределенной системы.

Частота  $F$  модуляции упругого закрепления изменялась от 10 до 70 Гц. В этом диапазоне было обнаружено несколько зон параметрической неустойчивости. В нечетных зонах ( $F = f_0$  и  $F = 3f_0$ ) возбуждались колебания, форма которых близка к гармонической (фиг. 6, а), а в четных ( $F = 2f_0$  и  $F = 4f_0$ ) — импульсные колебания (фиг. 6, б — г). Форма последних существенно изменялась при перемещении микрофона вдоль ленты. Вблизи закрепленного конца наблюдались однополярные импульсы (фиг. 6, е), а в середине — двухполлярные (фиг. 6, з).

В пределах зоны неустойчивости имели место качественно различные режимы возбуждения импульсов. Они либо пропадали через один (фиг. 6, д), либо следовали группами (фиг. 6, е). Последнее, по-видимому, обусловлено нелинейными свойствами исследуемой системы.

В заключение заметим, что наблюдаемые в исследуемой системе эффекты параметрического возбуждения импульсов имеют много общего с аналогичными эффектами в электродинамических распределенных системах с изменяющимися во времени распределенными [7] и сосредоточенными параметрами [8].

Поступила 5 XI 1975

## ЛИТЕРАТУРА

1. Весницкий А. И., Потапов А. И. Качественный метод исследования волновых процессов в системах с изменяющимися во времени размерами.— В кн.: Динамика систем. Горький, изд. Горьк. ун-та, 1975, № 7.
2. Rayleigh (Strutt J. W.) On the pressure of vibrations.— «Phil. Mag.», 1902, ser. 6, vol. 3, N 15, p. 338.
3. Николаи Е. Л. О поперечных колебаниях участка струны, длина которого равномерно меняется.— В кн.: Труды по механике. М., ГИТТЛ, 1955.
4. Горошко О. А., Савин Г. Н. Введение в механику одномерных деформируемых тел переменной длины. Киев, «Наукова думка», 1971.
5. Весницкий А. И., Потапов А. И. Некоторые общие свойства волновых явлений в одномерных механических системах переменной длины.— ПМ, 1975, т. 11, вып. 4, с. 98.
6. Красильников В. Н., Панкратов А. М. Электромагнитные поля в резонаторах с колеблющимися границами.— В кн.: Проблемы дифракции и распространения волн. Ленинград, изд. Ленингр. ун-та, 1968, № 8, с. 59.
7. Весницкий А. П., Островский Л. А., Панюк В. В., Шабанов В. Н. О параметрической генерации импульсов.— «Письма в ЖЭТФ», 1969, т. 9, № 5, с. 274.
8. Кабанов Д. А., Никулин С. М. Генерация импульсов в линии передачи с параметрическими диодами.— «Радиотехника и электроника», 1973, т. 17, № 8, с. 1756.

УДК 535.231.6 : 537.227 + 533.6.011.72

**МАЛОИННЕРЦИОННЫЕ ПИРОЭЛЕКТРИЧЕСКИЕ  
ПРИЕМНИКИ ДЛЯ РЕГИСТРАЦИИ ИЗЛУЧЕНИЯ  
В ДИАПАЗОНЕ 40—1100 НМ**

Ю. Н. Киселев, В. З. Крохин

(Москва)

Пироэлектрические приемники излучения, в которых используется резкая температурная зависимость спонтанной поляризации в сегнетоэлектриках от температуры, обладают сравнительно высокой чувствительностью, неселективностью в широком спектральном диапазоне и малой инертностью [1, 2]. Обычно пироприемники применялись для индикации инфракрасного излучения.

Рассмотрим работу пироприемника продольного типа на основе сегнетоэлектрического кристалла, в котором вектор поляризации  $\mathbf{P}$  направлен по оси  $x$  перпендикулярно электродам и излучение поглощается одним из электродов. Пироэлектрический ток, возникающий в каком-либо элементе кристалла  $\Delta x \Delta y \Delta z$ , определяется изменением поляризации во времени  $dq/dt = \Delta y \Delta z dP/dt$ , а среднее значение тока в кристалле пропорционально изменению средней температуры кристалла

$$\frac{dq}{dt} = \frac{A}{d} \int_0^d \frac{dP}{dT} \frac{dT}{dt} dx; \quad \frac{dP}{dT} = \gamma; \quad \frac{1}{d} \int_0^d \frac{dT}{dt} dx = \frac{d\bar{T}}{dt}; \quad \frac{dq}{dt} = A\gamma \frac{d\bar{T}}{dt},$$

где  $A$  — площадь поверхности кристалла, воспринимающей излучение;  $d$  — толщина кристалла в направлении распространения тепловой волны;  $\gamma = dP/dT$  — пироэлектрический коэффициент, постоянный в некоторой области температур ниже температуры Кюри.